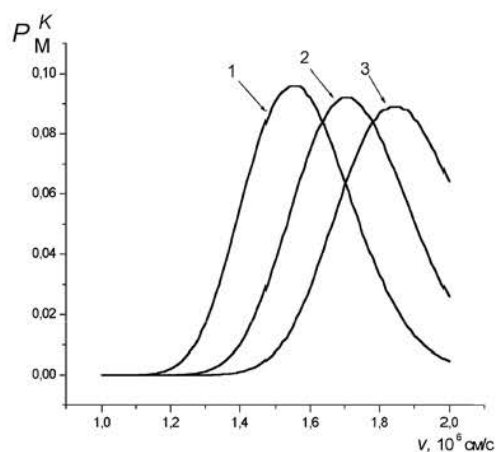


молекулы и фрагментов диссоциации полиатомной молекулы, входящей в мишень.

Как пример, была рассчитана вероятность $P_M^K(v)$ возбуждения $K = 30$ эксимолей как функция скорости в подструктуре молекулы, содержащей диполи вида C—H, для $M = 70, 80, 90$. Интервал скоростей движения полиатомной молекулы был выбран равным $v = (1-2) \cdot 10^6$ см/с. Предполагалось, что молекула скользит на расстоянии около 1 Å вдоль поверхности, представляющей собой пленку, формируемую молекулами перфлюорина. Результаты расчета приведены на рисунке.

Выбор $K = 30$ эксимолей соответствует разрыву одной связи-ловушки в цепи молекулы при



Функция вероятности P_M^K возбуждения $K = 30$ эксимолей в цепи молекулы, содержащей диполи вида C—H для $M = 70$ (1), 80 (2) и 90 (3)

$E_d = 2.5$ эВ. Как видно из рисунка, вероятность разрыва такой связи является резонансной функцией скорости относительного движения молекул.

Кроме того, проведенный анализ показал, что значение скорости скольжения $v_{||}$, при которой происходит разрыв определенной связи-ловушки с максимальной вероятностью, зависит от числа диполей M в подструктуре молекулы. Это означает, что существует зависимость вероятности фрагментации полиатомных молекул от числа эквивалентных степеней свободы при их низкоэнергетичном рассеянии.

Литература

1. Schmidt L., Popova A.M., Komarov V.V., Jungclas H. // Z. Naturforsch. 1996. **A51**. P. 1144.
2. Wu Q., Hanley L. // J. Phys. Chem. 1993. **97**. P. 2677.
3. Pradeep T., Ast T., Cooks R.G., Feng B. // J. Phys. Chem. 1994. **98**. P. 9301.
4. Jungclas H., Wieghaus A., Schmidt L., Popova A.M., Komarov V.V. // J. Am. Soc. Mass Spectrom. 1999. **10**. P. 471.
5. Jungclas H., Komarov V.V., Popova A.M., Schmidt L. // Eur. Phys. J. 1998. **D1**. P. 193.
6. Комаров В.В., Попова А.М., Юнгклас Х. и др. // Вестн. Моск. ун-та. Физ. Астрон. 1998. №3. С. 3 (Moscow University Phys. Bull. 1998. No. 3. P. 1).
7. Fritsch H.W., Jungclas H., Komarov V.V., Schmidt L. // J. Phys. II France. 1994. **4**. P. 567.

Поступила в редакцию
19.09.01

УДК 539.2:535.3

ВЛИЯНИЕ ШЕРОХОВАТОСТЕЙ РАЗЛИЧНЫХ МАСШТАБОВ НА КОЭФФИЦИЕНТ ОТРАЖЕНИЯ ОТ ГРАНИЦЫ РАЗДЕЛА ДВУХ СРЕД

А.Н. Боголюбов, А.А. Тихонравов

(кафедра математики)

E-mail: atikhonravov@rbcmail.ru

Проведено качественное исследование вопроса о влиянии шероховатостей различных масштабов на спектральные свойства коэффициентов отражения и пропускания для шероховатой границы раздела двух сред. Рассмотрены предельные случаи крупномасштабных и мелкомасштабных шероховатостей.

Введение

Создание многослойных оптических покрытий [1–3] является важным элементом современных оптоэлектронных технологий. В последнее время возрастает интерес к оптическим покрытиям, предназначенным для работы в дальней ультрафиолетовой области (длина волны более 120–150 нм). Это связано, в частности, с потребностями полупро-

водниковой литографии, а именно со стремлением достигнуть пространственного разрешения существенно лучшего, чем 100 нм. Для этой цели могут использоваться эксимерные лазеры с длиной волны 157 и 193 нм. Эффективность применения подобных лазеров непосредственно зависит от качества многослойных диэлектрических покрытий, являющихся компонентами лазеров. Для создания таких компонентов используются наиболее совершенные

технологические процессы, тем не менее в коротковолновой области спектра эффекты, связанные с рассеянием света на границах диэлектрических слоев, могут оказаться чрезвычайно существенными.

Исследованию рассеяния на шероховатостях поверхностей посвящено огромное количество работ. Хороший обзор по данной тематике можно найти в монографии [4]. В ряде работ исследовалось и рассеяние на многослойных оптических покрытиях [5–7], однако полученные соотношения оказались громоздкими и неудобными для эффективного анализа влияния рассеяния на спектральные характеристики реальных оптических покрытий. Важным для практики является качественное понимание влияния шероховатостей различных масштабов на спектральные свойства коэффициентов отражения и пропускания для шероховатой границы. Этому вопросу посвящена данная работа.

1. Постановка задачи. Нахождение рассеянных мод

Рассмотрим две непоглощающие среды с диэлектрическими проницаемостями ε_1 и ε_2 . Будем предполагать, что возмущение границы раздела двух сред описывается периодической функцией одной переменной $h(x)$:

$$h(x + 2a) = h(x).$$

Пусть ось OY направлена перпендикулярно невозмущенной границе раздела сред, совпадающей с плоскостью $y = 0$ (рис. 1).

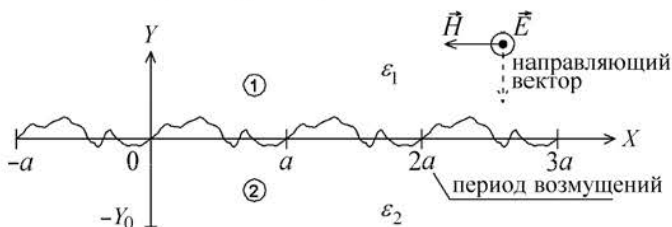


Рис. 1. К постановке задачи: нормальное падение плоской волны на шероховатую границу

Из условия периодичности следует, что функция $h(x)$ разлагается в ряд Фурье. Предположим, что число гармоник этого ряда конечно и не превосходит N . Тогда

$$h(x + 2a) = h(x) = \sum_{n=-N}^N h_n e^{i\lambda_n x},$$

где $\lambda_n = \pi n/a$, $h_0 = 0$.

Рассмотрим случай нормального падения плоской ТЕ-поляризованной электромагнитной волны из верхней среды с $\varepsilon = \varepsilon_1$ на границу раздела сред.

Обозначим амплитуды электрического поля в верхней и нижней средах соответственно E_u и E_l . Тогда из уравнений Максвелла следует, что в верхней среде амплитуда электрического поля E удовле-

творяет уравнению

$$\frac{\partial^2 E}{\partial x^2} + \frac{\partial^2 E}{\partial y^2} + k^2 \varepsilon_1 E = 0, \quad (1)$$

а в нижней — уравнению

$$\frac{\partial^2 E}{\partial x^2} + \frac{\partial^2 E}{\partial y^2} + k^2 \varepsilon_2 E = 0. \quad (2)$$

Поскольку электрическое поле для ТЕ-волны имеет только тангенциальную составляющую, на границе имеет место равенство

$$E_u|_{\Gamma} = E_l|_{\Gamma}. \quad (3)$$

Условие равенства тангенциальных составляющих поля H приобретает вид

$$\frac{\partial E_u}{\partial n} \Big|_{\Gamma} = \frac{\partial E_l}{\partial n} \Big|_{\Gamma}, \quad (4)$$

где \mathbf{n} — единичный вектор, направленный по нормали к границе раздела в некоторой ее точке.

Функции, удовлетворяющие граничным условиям (3), (4), вычисляются при аргументах $(x, h(x))$. Удобно преобразовать эти граничные условия так, чтобы в них входили значения функций на невозмущенной границе, т. е. при $y = 0$.

В первом порядке малости по $h(x)$ граничное условие (3) можно записать в виде

$$E_u(x, 0) + h(x) \frac{\partial E_u}{\partial y}(x, 0) = E_l(x, 0) + h(x) \frac{\partial E_l}{\partial y}(x, 0). \quad (5)$$

Преобразуем также граничное условие (4).

Пренебрегая членами порядка $h(x)h'(x)$, получим

$$\begin{aligned} \frac{\partial E_u}{\partial y}(x, 0) + h(x) \frac{\partial^2 E_u}{\partial y^2}(x, 0) - h'(x) \frac{\partial E_u}{\partial x}(x, 0) = \\ = \frac{\partial E_l}{\partial y}(x, 0) + h(x) \frac{\partial^2 E_l}{\partial y^2}(x, 0) - h'(x) \frac{\partial E_l}{\partial x}(x, 0). \end{aligned} \quad (6)$$

Заметим, что граничные условия (5), (6) — приближенные, причем точность аппроксимации имеет порядок малости $h(x)$.

Поля в верхней и нижней средах будем искать соответственно в виде

$$E_u(x, y) = e^{-ik\sqrt{\varepsilon_1}y} + \sum_{n=-N}^N u_n e^{i\lambda_n x} e^{i\gamma_n y} \quad (y > 0), \quad (7)$$

$$E_l(x, y) = \sum_{n=-N}^N v_n e^{i\lambda_n x} e^{-i\gamma_n y} \quad (y < 0), \quad (8)$$

где u_0 является амплитудой волны, отраженной в обратном направлении в верхней среде, а v_0 — амплитудой проходящей волны. Остальные члены рядов в (7), (8) представляют собой распространяющиеся и затухающие рассеянные моды в верхней и нижней средах.

Подставляя (7), (8) в уравнения (1), (2), получим, что эти уравнения выполняются при условиях

$$(\gamma_{n,1})^2 + \lambda_n^2 = k^2 \varepsilon_1, \quad (\gamma_{n,2})^2 + \lambda_n^2 = k^2 \varepsilon_2.$$

Систему линейных уравнений для определения коэффициентов u_n, v_n получим, подставляя (7), (8) в граничные условия (5), (6), умножая полученные уравнения на $e^{-i\lambda_m x}$ и интегрируя по периоду.

В результате приходим к следующим уравнениям:

$$1 + u_0 - v_0 + \sum_{n=-N}^N h_{-n} (i\gamma_{n,1} u_n + i\gamma_{n,2} v_n) = 0, \quad (9)$$

$$-ik\sqrt{\varepsilon_1} + ik\sqrt{\varepsilon_1} u_0 + ik\sqrt{\varepsilon_2} v_0 + \sum_{n=-N}^N h_{-n} (-k^2 \varepsilon_1 u_n + k^2 \varepsilon_2 v_n) = 0, \quad (10)$$

$$u_m - v_m - ik\varepsilon_1 h_m + \sum_{n=-N}^N h_{m-n} (i\gamma_{n,1} u_n + i\gamma_{n,2} v_n) = 0, \quad (11)$$

$$i\gamma_{m,1} u_m + i\gamma_{m,2} v_m - k^2 \varepsilon_1 h_m + \sum_{n=-N}^N h_{m-n} [(-\gamma_{n,1}^2 + \lambda_n \lambda_{m-n}) u_n + (\gamma_{n,2}^2 + \lambda_n \lambda_{m-n}) v_n] = 0. \quad (12)$$

Введем вектор неизвестных X следующим образом:

$$X = \{u_0, v_0, u_{-N}, v_{-N}, \dots, u_N, v_N\}^T. \quad (13)$$

При этом уравнения (9)–(12) запишутся в матричном виде: $AX = B$.

Матрица системы A может быть представлена как сумма матриц: $A = A^0 + A^h$, где A^0 не содержит членов с h_n , а A^h объединяет все такие члены. Аналогичным образом представим вектор правых частей: $B = B^0 + B^h$.

Обозначим через h норму вектора $\{h_n\}$. Будем рассматривать h как малый параметр. Напомним, что граничные условия (5), (6), из которых получена система (13), были записаны с точностью порядка $O(h)$. Поэтому A^h, B^h имеют соответствующий порядок точности.

В общем случае, если граничные условия записаны с более высокой точностью по h , матрица A^h и вектор B^h будут иметь вид

$$A^h = hA^{(1)} + h^2 A^{(2)} + \dots, \quad B^h = hB^{(1)} + h^2 B^{(2)} + \dots$$

Вектор X в этом случае также будем искать в виде

$$X = X^0 + hX^{(1)} + h^2 X^{(2)} + \dots$$

Подставляя эти выражения в (13) и приравнивая члены одного порядка по h , получим следующую цепочку линейных алгебраических систем:

$$A^0 X^0 = B^0, \quad (14)$$

$$A^0 X^{(1)} = B^{(1)} - A^{(1)} X^0, \\ A^0 X^{(2)} = B^{(2)} - A^{(2)} X^0 - A^{(1)} X^{(1)}, \\ \dots$$

Заметим, что точность граничных условий (5), (6) достаточна для рассмотрения первых двух из этих систем. Рассмотрим их более подробно.

Первая система $A^0 X^0 = B^0$ сводится к простейшей системе из двух линейных уравнений, решение которой имеет вид

$$u_0 = \frac{\sqrt{\varepsilon_1} - \sqrt{\varepsilon_2}}{\sqrt{\varepsilon_1} + \sqrt{\varepsilon_2}}, \quad v_0 = \frac{2\sqrt{\varepsilon_1}}{\sqrt{\varepsilon_1} + \sqrt{\varepsilon_2}}. \quad (15)$$

Формулы (15) — это не что иное, как известные френелевские коэффициенты отражения для плоской границы раздела двух сред в случае нормального падения плоской волны.

Перейдем к рассмотрению второй системы:

$$A^0 X^{(1)} = B^{(1)} - A^{(1)} X^0, \quad (16)$$

где $B^{(1)} = \frac{1}{h} B^h, A^{(1)} = \frac{1}{h} A^h$.

Первые две координаты вектора правых частей в системе (16) — нулевые. Поэтому будут равны нулю и первые две координаты вектора $X^{(1)}$. Отсюда сразу же следует важный вывод: амплитудные коэффициенты отражения и пропускания в случае возмущенной границы не имеют поправок порядка h ; для нахождения поправок к этим коэффициентам необходимо производить исследования с точностью порядка h^2 .

Запишем вектор $X^{(1)}$ в виде

$$X^{(1)} = \{0, 0, (X_{-N}^1)^T, \dots, (X_N^1)^T\}^T,$$

где

$$X_{-N}^1 = \begin{pmatrix} u_{-N} \\ v_{-N} \end{pmatrix}, \dots, X_N^1 = \begin{pmatrix} u_N \\ v_N \end{pmatrix}.$$

Система (16) сводится к следующей цепочке уравнений с матрицами размерности 2×2 :

$$\Gamma_{-N} X_{-N}^1 = B_{-N} - H_{0,-N} X_0^0,$$

.....

$$\Gamma_N X_N^1 = B_N - H_{0,N} X_0^0.$$

Здесь X_0^0 — вектор с координатами $u_0, v_0, \Gamma_{-N}, \dots, \Gamma_N$ — квадратные матрицы второго порядка вида

$$\Gamma_m = \begin{pmatrix} 1 & -1 \\ i\gamma_{m,1} & i\gamma_{m,2} \end{pmatrix}, \quad m = -N, \dots, -1, 1, \dots, N,$$

B_{-N}, \dots, B_N — двумерные векторы вида

$$B_m = \frac{h_m}{h} \begin{pmatrix} ik\sqrt{\varepsilon_1} \\ k^2 \varepsilon_1 \end{pmatrix}, \quad m = -N, \dots, -1, 1, \dots, N,$$

а $H_{0,-N}, \dots, H_{0,N}$ — квадратные матрицы второго порядка, имеющие вид

$$H_{0,m} = \frac{h_m}{h} \begin{pmatrix} ik\sqrt{\varepsilon_1} & ik\sqrt{\varepsilon_2} \\ -k^2\varepsilon_1 & k^2\varepsilon_1 \end{pmatrix}, \\ m = -N, \dots, -1, 1, \dots, N.$$

В общем случае вектор X_m^1 ненулевой, если соответствующие вектор B_m и матрица $X_{0,m}$ ненулевые.

Проведенное рассмотрение приводит еще к одному важному выводу: амплитуды рассеянных мод имеют первый по h порядок малости, причем ненулевыми в этом порядке являются только амплитуды, соответствующие ненулевым членам разложения функции $h(x)$ в ряд.

Каждое из уравнений цепочки (16) можно решать по отдельности. Все они имеют одинаковый вид. Поэтому рассмотрим уравнение

$$\Gamma_m X_m^1 = B_m - H_{0,m} X_0^0, \quad m = -N, \dots, -1, 1, \dots, N.$$

Решение этого уравнения записывается следующим образом:

$$X_m^1 = \begin{pmatrix} u_m^1 \\ v_m^1 \end{pmatrix} = \frac{h_m}{h} \frac{k^2(\varepsilon_1 - \varepsilon_2) v_0^0}{i(\gamma_{m,1} + \gamma_{m,2})} \begin{pmatrix} 1 \\ 1 \end{pmatrix}. \quad (17)$$

Из (17) следует, что амплитуды u_m^1 и v_m^1 совпадают.

Моды, рассеянные в верхней среде, являются распространяющимися при выполнении условия $(\frac{\pi m}{\alpha})^2 < k^2\varepsilon_1$, а в нижней — при выполнении условия $(\frac{\pi m}{\alpha})^2 < k^2\varepsilon_2$.

2. Поправки к амплитудным коэффициентам отражения и пропускания

Как было отмечено, поправки к амплитудным коэффициентам отражения и пропускания имеют порядок малости h^2 . Поэтому той точности, с которой записаны граничные условия в (5), (6), недостаточно для их нахождения. Для вычисления поправок к u_0, v_0 рассмотрим третье матричное уравнение в цепочке (14).

Так как нас интересуют только $u_0^{(2)}$ и $v_0^{(2)}$, достаточно рассмотреть только первые две строки этого уравнения. Для интересующих нас поправок получим систему второго порядка вида

$$\Gamma_0 \begin{pmatrix} u_0^{(2)} \\ v_0^{(2)} \end{pmatrix} B_0^{(2)} - A_0^{(2)} X_0^0 - (A^{(1)} X^{(1)})_0. \quad (18)$$

Вычислим сначала $(A^{(1)} X^{(1)})_0$. Из выражения для $A^{(1)}$ следует, что

$$(A^{(1)} X^{(1)})_0 = \sum_{\substack{m=-N \\ m \neq 0}}^N H_{m,-m} X_m^1, \quad (19)$$

где

$$H_{m,-m} = \frac{h_{-m}}{h} \begin{pmatrix} i\gamma_{m,1} & i\gamma_{m,2} \\ -k^2\varepsilon_1 & k^2\varepsilon_1 \end{pmatrix}, \\ m = -N, \dots, -1, 1, \dots, N.$$

Подставляя сюда выражение для $H_{m,-m}$ и формулу (17) для X_m^1 , получим

$$(A^{(1)} X^{(1)})_0 = \\ = \frac{k^2}{h^2} \sum_{\substack{m=-N \\ m \neq 0}}^N |h_m|^2 (\varepsilon_1 - \varepsilon_2) v_0^0 \begin{pmatrix} 1 \\ i(\gamma_{m,1} - \gamma_{m,2}) \end{pmatrix}. \quad (20)$$

Перейдем к вычислению $B_0^{(2)} - A_0^{(2)} X_0^0$ в формуле (18). Для этого необходимо использовать граничные условия, полученные из (3), (4) с точностью порядка h^2 . Причем для нахождения указанных членов достаточно рассмотреть в граничных условиях именно члены порядка h^2 .

После некоторых преобразований будем иметь

$$B_0^{(2)} - A_0^{(2)} X_0^{(2)} = \\ = \frac{1}{2} k^2 \frac{1}{h^2} \sum_{m=-N}^N |h_m|^2 (\varepsilon_1 - \varepsilon_2) v_0^0 \begin{pmatrix} 1 \\ -ik\sqrt{\varepsilon_2} \end{pmatrix}. \quad (21)$$

Вычитая выражение (20) из (21), получим

$$B_0^{(2)} - A_0^{(2)} X_0^{(2)} - (A^{(1)} X^{(1)})_0 = \frac{1}{2} k^2 (\varepsilon_1 - \varepsilon_2) v_0^0 \frac{1}{h^2} \times \\ \times \sum_{m=-N}^N |h_m|^2 \begin{pmatrix} 1 \\ -ik\sqrt{\varepsilon_2} - 2i(\gamma_{m,1} - \gamma_{m,2}) \end{pmatrix}. \quad (22)$$

Из (18) и (22) можно найти $u_0^{(2)}, v_0^{(2)}$:

$$\begin{pmatrix} u_0^{(2)} \\ v_0^{(2)} \end{pmatrix} = \frac{1}{2} \frac{k(\varepsilon_1 - \varepsilon_2) v_0^0}{2(\sqrt{\varepsilon_1} + \sqrt{\varepsilon_2}) h^2} \times \\ \times \sum_{m=-N}^N |h_m|^2 \begin{pmatrix} -2k\sqrt{\varepsilon_2} - 2(\gamma_{m,1} - \gamma_{m,2}) \\ k(\sqrt{\varepsilon_1} + \sqrt{\varepsilon_2}) - 2(\gamma_{m,1} - \gamma_{m,2}) \end{pmatrix}.$$

Теперь можно записать поправки к амплитудным коэффициентам отражения и пропускания.

В результате получим

$$r = u_0^0 + h^2 u_0^{(2)} = \\ = \left[1 + \sum_{m=-N}^N |h_m|^2 k\sqrt{\varepsilon_1} (-2k\sqrt{\varepsilon_2} - 2\gamma_{m,1} + \gamma_{m,2}) \right] v_0^0, \quad (23)$$

$$t = v_0^0 + h^2 v_0^{(2)} = \left[1 + \frac{1}{2} k(\sqrt{\varepsilon_1} \sqrt{\varepsilon_2}) \times \right. \\ \left. \times \sum_{m=-N}^N |h_m|^2 (k(\sqrt{\varepsilon_1} - \sqrt{\varepsilon_2}) - 2(\gamma_{m,1} - \gamma_{m,2})) \right] v_0^0. \quad (24)$$

3. Предельные случаи крупномасштабной и мелкомасштабной шероховатостей

В скалярной теории дифракции (см., напр., [8]) получены следующие выражения для амплитудных коэффициентов отражения и пропускания шероховатой границы раздела двух сред:

$$r = r^0 [1 - 2k^2 \varepsilon_1 \sigma^2], \quad (25)$$

$$t = t^0 \left[1 - \frac{1}{2} k^2 (\sqrt{\varepsilon_1} - \sqrt{\varepsilon_2})^2 \sigma^2 \right]. \quad (26)$$

Здесь r^0, t^0 — то же, что u_0^0, v_0^0 в формулах (23), (24), а σ — среднеквадратичное отклонение профиля шероховатой границы от невозмущенной границы.

Выражения (25), (26) получаются в предположении, что $\sigma \ll \lambda$, $\lambda \ll l_c$, где l_c — корреляционный размер шероховатой границы.

Заменим в формулах (23), (24) $\sum_{m=-N}^N |h_m|^2$ на σ^2 .

Далее будем считать, что $a \gg \lambda$. Предположим также, что в сумме $\sum_{m=-N}^N |h_m|^2$ основную часть составляют члены, для которых $\lambda_m = \frac{\pi m}{\alpha} \ll k = \frac{2\pi}{\lambda}$. Для этих членов $\gamma_{m,1} \approx k\sqrt{\varepsilon_1}$, $\gamma_{m,2} \approx k\sqrt{\varepsilon_2}$.

Получим

$$r = [1 - 2k^2 \varepsilon_1 \sigma^2] u_0^0,$$

$$t = \left[1 - \frac{1}{2} k^2 (\sqrt{\varepsilon_1} - \sqrt{\varepsilon_2})^2 \sigma^2 \right] v_0^0,$$

т. е. выражения, совпадающие с (25), (26).

Таким образом, для крупномасштабной шероховатости полученные формулы переходят в пределе в формулы скалярной теории дифракции.

Рассмотрим теперь другой предельный случай, когда характерный размер пространственной неоднородности много меньше длины волны.

Пусть $T_m \ll \lambda$, тогда соответствующие моды являются затухающими. Пусть в формулах (23), (24) для всех h_m выполняется условие $T_m \ll \lambda$, тогда они примут вид

$$r = r^0 [1 - 2k^2 n_1 n_2 \sigma^2], \quad (27)$$

$$t = t^0 \left[1 + \frac{1}{2} k^2 (n_1 - n_2)^2 \sigma^2 \right]. \quad (28)$$

Заменим шероховатую границу на тонкий слой толщиной 2σ с 50% содержанием материалов с показателями преломления n_1 и n_2 . Показатель преломления в этом случае по теории Максвелла–Гарнета [9] находится из следующего соотношения:

$$\varepsilon = \varepsilon_1 \frac{(1 + 2p)\varepsilon_2 + (1 - p)\varepsilon_1}{(1 - p)\varepsilon_2 + (2 + p)\varepsilon_1}. \quad (29)$$

Близость спектральных кривых коэффициента пропускания на рис. 2 дает основание сделать следующий вывод: мелкомасштабные шероховатости

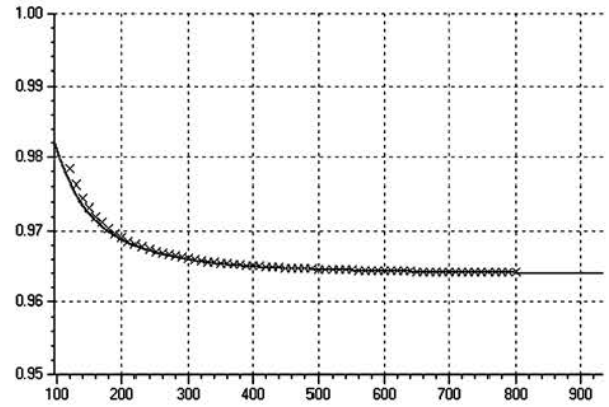


Рис. 2. Сравнение спектральной кривой коэффициента пропускания слоя с показателем преломления, рассчитанном по теории Максвелла–Гарнета (сплошная кривая), с соответствующей спектральной кривой пропускания, рассчитанной с помощью формулы (28) (крестики): $\sigma = 5$ нм, $n_1, n_2 = 1.47$

не приводят к потерям энергии на рассеяние, но вызывают перераспределение энергии между прошедшей и отраженной волнами (см. (27), (28)). Оказывается, что влияние мелкомасштабных неоднородностей может быть учтено путем введения тонкого поверхностного слоя с показателем преломления, найденным по теории Максвелла–Гарнета.

Заключение

Крупномасштабные и мелкомасштабные (по сравнению с длиной волны) неоднородности оказывают принципиально разное влияние на коэффициенты отражения и пропускания. Поэтому одного параметра σ явно недостаточно для адекватного описания отражения на шероховатой границе раздела двух сред. Из результатов работы следует, что для описания эффектов, связанных с шероховатостью границы, необходимо ввести два параметра: σ_L и σ_s — среднеквадратичные шероховатости соответственно для крупномасштабных и мелкомасштабных неоднородностей.

Авторы выражают искреннюю благодарность профессору А.Г. Свешникову за полезное обсуждение темы и помощь в работе.

Работа выполнена при поддержке РФФИ (грант 00-01-00111) и программы «Университеты России» (грант 015.03.02.001).

Литература

1. Thelen A. Design of Optical Interference Filters. N.Y., 1989.
2. Furman Sh.A., Tikhonravov A.V. Basics of Optics of Multilayer Systems. Paris, ADAGP, 1992.
3. Свешников А.Г., Тихонравов А.В., Трубецков М.К. // Матем. моделирование. 1995. 7. С. 105.
4. Беннетт Д.М., Маттсон Л. Шероховатость поверхности и рассеяние. Вашингтон: Оптическое общество Америки, 1993.
5. Zavislan James M. // Appl. Opt. 1991. 30. P. 2224.
6. Bahar E., Kubik R.D. // Appl. Opt. 1997. 36. P. 2947.

7. *Elson J.M., Rahn J.P., Bennett J.M.* // *Appl. Opt.* 1983. **22**. P. 3207.
8. *Ogilvy J.A.* *Theory of Wave Scattering from Random Rough Surfaces*. Bristol (N.Y.): Adam Hilger, 1991.
9. *Hodgkinson I.J., Qi Hong Wu.* *Birefringent Thin Films Polarizing Elements*. World Sci., 1997.

Поступила в редакцию
31.10.01